

УДК 549.3:551.4:552.6(571.5)

СУЛЬФИДНАЯ МИНЕРАЛИЗАЦИЯ В ПОПИГАЙСКОЙ ИМПАКТНОЙ СТРУКТУРЕ

© 2004 г. М. В. Наумов, В. Д. Ляхницкая, О. А. Яковлева

Представлено академиком Н.П. Юшкиным 12.05.2004 г.

Поступило 20.05.2004 г.

Изучение состава и распределения сульфидной минерализации в импактных структурах, до настоящего времени затрагивавшее лишь отдельные частные стороны этого явления (см., например, [5]), представляет интерес в трех аспектах: 1) как пример формирования сульфидов в расплавах, возникших при плавлении пород верхней коры без привноса глубинного материала; 2) как один из показателей условий кристаллизации импактных расплавов; 3) в связи с наличием Ni–Cu–PGE-сульфидных руд в структуре Садбери, импактный (космогенный) генезис которой, так же как и заполняющего ее так называемого “интрузивного комплекса Садбери” и содержащихся в нем руд, в настоящее время признается всеми исследователями этого уникального рудного объекта [6, 7 и др.]. В этом аспекте Попигайская структура диаметром 100 км представляет особый интерес вследствие развития здесь крупнейшего для астроблем (исключая Садбери) объема (~3000 км³) продуктов импактного плавления.

Попигайская структура возникла 35.7 млн. лет назад в двухслойной мишени, сложенной раннедокембрийскими кристаллическими породами, перекрытыми рифей-мезозойским осадочным чехлом до 1.5 км мощностью [3]. Кратер выполнен импактитами (массивными – тагамитами и обломочными – зювитами) и аллогенными брекчиями суммарной мощностью до 2 км. В составе мощных покровов тагамитов выделяются линзовидные тела так называемых высокотемпературных (ВТ) и низкотемпературных (НТ) тагамитов, различающихся по режиму кристаллизации, но обладающих одинаковым химическим составом, соответствующим гранодиориту [3].

РАСПРЕДЕЛЕНИЕ И СОСТАВ СУЛЬФИДНОЙ МИНЕРАЛИЗАЦИИ

Сульфиды присутствуют в форме рассеянной и жильной минерализации во всех типах импактных пород и пород мишени Попигайского кратера. Выделяются три генетические группы сульфидов, каждая из которых характеризуется спецификой состава минерализации, форм развития и состава ведущих минералов: 1) доимпактные, 2) сингенетические, 3) эпигенетические.

Доимпактные сульфиды. Вкрапленная и жильная минерализация развита в различных породах мишени – ударно-метаморфизованных и брекчированных гнейсах, амфиболитах, долеритах, доломитах, алевролитах и т.д., в первую очередь в образованиях кристаллического фундамента, выходящих на поверхность в пределах кольцевого поднятия и на юго-западном борту кратера, а также составляющих кластический материал импактитов и импактных брекчий. В соответствии с разнообразием пород мишени доимпактные сульфиды представлены широким спектром минералов. В целом доминируют пирротин и пирит; локально установлены сфалерит, галенит, молибденит, миллерит, арсенопирит, марказит, мельниковит, а также (в долеритах триаса) зигенит и алтait. В относительно значительных количествах сульфиды присутствуют в отдельных зонах брекчирования в породах мишени на борту кратера в его юго-западном секторе, где в краевых частях линзовидных тел ультрамафитов, развитых среди ударно-метаморфизованных гнейсов, выявлены реликты миллерит-пентландит-халькопиритовой ассоциации, аналогичной по составу минералов (табл. 1) одноименной рудной ассоциации Талнахской интрузии [2]. Доимпактные сульфиды в той или иной степени изменены обусловленными импактным событием процессами катаклаза, термального метаморфизма и гидротермального изменения, в результате которых первичный пирротин замещается пирит-марказитовым агрегатом, причем вторичные сульфиды обогащены никелем по

Всероссийский научно-исследовательский
геологический институт им. А.П. Карпинского,
Санкт-Петербург
ОАО “Институт Гипроникель”,
Санкт-Петербург

Таблица 1. Составы основных сульфидов из пород Полигайской импактной структуры (микрозондовый анализ)

Порода	Минерал	S	Fe	Ni	Co	Cu	Zn	As	Me, ат. %	Σ Me/Fe	n
	Пирротин гексагональный	37.42–38.94 38.19	60.82–62.23 61.57	0.112–0.352 0.214	0.0–0.183 0.026	—	—	—	47.37–48.98 48.17	0.002–0.005 0.0037	9
	Пирротин моноклинный	39.00–40.63 39.65	59.17–60.74 60.82	0.081–0.340 0.207	0.0–0.091 0.034	—	—	—	45.62–47.31 46.71	0.003–0.006 0.0038	4
Кристаллические породы мицелии	Пентландит	33.51	22.71	42.55	1.220	—	—	—	55.71	1.833	2
	Миллерит	35.70	2.76	61.28	0.268	—	—	—	49.30	21.25	2
	Пирит	53.45–53.88 53.63	46.00–46.40 46.18	0.0–0.149 0.077	0.0–0.010 0.003	—	0.0–0.266 0.109	—	32.95–33.33 33.18	0.002–0.005 0.0003	4
	Халькопирит	33.26–35.80 34.48	31.07–31.87 31.63	—	—	32.22–34.17 33.35	0.0–1.33 0.463	—	48.26–53.92 51.21	0.89–0.94 0.92	5
Доломиты мицелии	Сфалерит	31.33–34.96 33.40	9.47–24.79 15.86	—	—	0.0–14.75 6.23	24.30–59.20 43.82	—	48.96–55.00 51.15	1.36–5.34 3.30	4
	Зиженит	41.48	15.73	30.95	11.55	0.28	—	—	39.01	2.64	2
	Пирит	52.34–53.77 53.00	45.39–47.27 46.41	0.0–1.136 0.334	0.0–0.178 0.086	—	0.0–0.171 0.051	0.0–0.439 0.114	33.05–34.34 33.73	0.003–0.028 0.011	7
BT-тагамиты	Троупит	35.13–37.00 35.96	62.72–64.60 63.85	0.0–0.441 0.153	0.0–0.196 0.010	—	—	—	49.43–51.42 50.55	0–0.007 0.0024	20
	Пирротин гексагональный	36.47–38.40 37.74	60.54–63.44 61.75	0.070–1.219 0.475	0.0–0.195 0.015	—	—	—	47.93–50.00 48.63	0.001–0.019 0.0076	34
	Пирротин моноклинный	39.12–40.39 39.79	58.90–60.20 59.69	0.0–0.910 0.447	0.0–0.241 0.044	—	—	—	45.85–47.18 46.48	0.0–0.019 0.0078	7
	Пентландит	31.14–33.83 32.84	31.27–40.49 35.39	20.17–31.78 26.53	1.00–7.53 3.48	0.0–4.84 1.76	—	—	55.86–59.02 57.03	0.535–1.096 0.820	7
Халькопирит		33.90	32.37	—	—	32.81	0.92	—	50.71	0.83	1

Таблица 1. Окончание

Порода	Минерал	S	Fe	Ni	Co	Cu	Zn	As	Me, ат. %	Σ Me/Fe	n
НГ-тагамиты ^I	Пирротин гексагональный	36.92–38.81 37.81	60.72–62.60 61.69	0.030–1.033 0.498	—	—	—	—	47.50–49.51 48.56	0.001–0.016 0.0077	25
	Пирротин моноклинный	39.45–41.58 40.13	57.34–60.38 59.10	0.070–2.490 0.600	0–0.398 0.064	—	—	—	44.63–46.84 46.11	0.001–0.041 0.0108	10
	Грейпйт	44.19	52.32	3.490	0.000	0.000	—	—	36.71	0.063	1
	Сфалерит	32.96	2.55	—	—	0.00	64.48	—	50.19	21.57	2
Импактные стекла в зюйватах	Пирит	53.62–55.23 54.09	43.00–46.16 45.34	0.0–1.770 0.463	0.0–0.143 0.046	0.0–0.132 0.043	0.0–0.060 0.015	—	31.72–33.18 32.75	0.003–0.028 0.011	5
	Троилит-пирротин [4]	37.41–38.88	48.73–63.12	0.0–12.69	—	—	—	—	47.41–49.56	0.0–0.248	8
	Пирит	52.22–53.75 53.11	44.71–47.46 46.54	0.0–1.389 0.194	0.0–0.300 0.047	0.0–0.172 0.042	0.0–0.259 0.024	0.0–0.659 0.049	33.06–33.86 33.64	0.000–0.042 0.007	18
Жилы в импактатах	Халькопирит	34.29–36.96 35.69	30.22–31.07 30.68	—	—	32.82–34.22 33.52	0.0–0.42 0.10	—	47.91–51.48 48.49	0.95–0.97 0.96	4
	Сфалерит	33.49–34.35 33.92	7.32–12.26 9.79	—	—	—	54.25–58.33 56.29	—	47.75–50.23 49.00	3.78–6.81 5.29	2
	Пирит	51.15–53.33 52.06	46.31–48.32 47.27	0.019–0.184 0.067	0.0–0.114 0.018	0.0–0.202 0.038	0.0–0.266 0.068	0.0–1.038 0.387	33.44–35.44 34.60	0.000–0.021 0.010	9
Сегрегации в зюйватах	Пирротин	38.46–41.58 40.04	57.34–61.40 59.15	0.042–1.081 0.681	0.0–0.270 0.125	—	—	—	44.63–47.88 46.22	0.002–0.019 0.0132	3
	Марказит	53.10	46.77	—	—	0.061	—	—	33.64	0.001	2

Примечание. Анализы выполнены на микронализаторе "CamScan-4" с системой Link ISIS 200; экспозиция 60 с, диаметр зонда 3 мкм, K_{α} - и L_{α} -излучение. В верхней строке – минимальное и максимальное значение, в нижней – среднее значение.

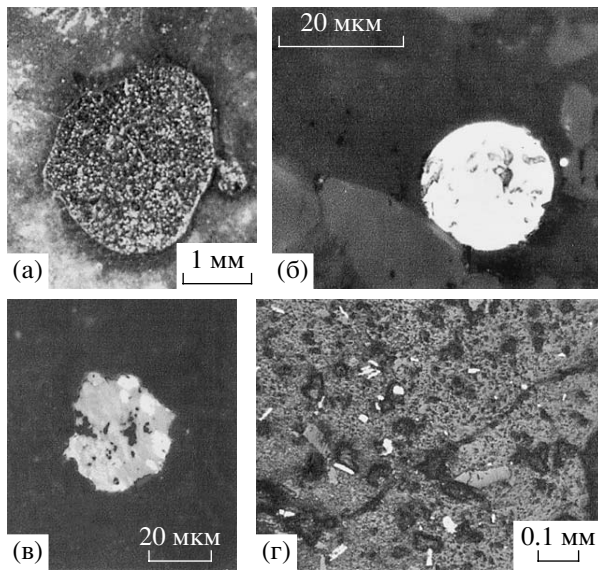


Рис. 1. Формы развития сингенетических сульфидов в тагамитах Попигайской импактной структуры. а – крупное сферическое выделение троилита в ВТ-тагамите, обр. 6250/235, косой свет; б – сферулы гексагонального пирротина в НТ-тагамите, аншлиф 4666/220, б/ан.; в – развитие пентландита в форме структур распада моносульфидного твердого раствора в матрице НТ-тагамита, аншлиф 291, б/ан; г – частая вкрапленность мельчайших игольчатых, призматических, таблитчатых зерен моноклинного пирротина в НТ-тагамите, аншлиф 1132/143.5, б/ан.

сравнению с первичными (содержания Ni соответственно до 1.5 и до 0.34%).

Сингенетические сульфиды сформированы в ходе кристаллизации импактного расплава, образуя мелкую вкрапленность в матрице тагамитов и в импактных стеклах, хотя ведущим рудным минералом в них в большинстве случаев является ильменит. Они представлены главным образом сферулами (до 4 см в поперечнике, но обычно <0.01 мм), субизометричными зернами неправильной формы, редко мельчайшими гексагональными и призматическими кристаллами пирротина (рис. 1). Состав последнего не зависит от форм выделения. Локально в пирротине присутствуют включения пентландита (в единичном случае – грейтита) и халькопирита в виде структур распада. ВТ- и НТ-тагамиты четко различаются по развитию тех или иных структурных модификаций моносульфида железа: гексагонального пирротина и троилита в первых и гексагонального и моноклинного пирротина во вторых (рис. 2). Кроме того, пирротины НТ-тагамитов несколько обогащены никелем и отличаются наличием прямой корреляции между содержаниями Ni и Co, не проявленной в ВТ-тагамитах. По рентгеноструктурным данным в последних могут присутствовать срастания троилита и гексагонального пирротина

двух структурных типов (1Т и 4Н)*. Содержания Ni и Co в пирротине сильно варьируют (от 0 до 2.49% и от 0 до 0.40% соответственно), так же как и Co/Ni-отношение; при этом закономерного изменения этих показателей, так же как и Me/S-отношения, в вертикальном разрезе мощных покровов тагамитов не наблюдается (рис. 3).

Локально в тагамитах развита вторичная сфалерит-галенит-пиритовая ассоциация. Второстепенные сульфиды в тагамитах (халькопирит, сфалерит, пентландит), так же как и пирротин, четко отличаются от доимпактных аналогов по соотношению $\Sigma\text{Me}/\text{Fe}$ (табл. 1). Значительно различаются сингенетические и доимпактные пирротины и по структуре корреляционных связей химических компонентов: для первых характерно преимущественное обогащение никелем и кобальтом более высокосернистых, для вторых – более низкосернистых разностей.

Эпигенетические сульфиды образовались в процессе постимпактной гидротермальной циркуляции. Они представлены пиритом и незначительными количествами халькопирита и сфалерита. Пирит в ассоциации с кальцитом и цеолитами формирует жилы в импактных породах и агрегатные псевдоморфозы по обломкам углистых сланцев, аргиллитов, сидеритов и т.п. в зюйватах и аллогенных брекчиях. Наиболее поздняя генерация пирита развита в субвертикальных трещинах отдельности в тагамитах. Эпигенетический пирит характеризуется резким преобладанием кубоктаэдрического габитуса кристаллов, обогащен Ag, As, Zn и обеднен Ni, Cu, Co по сравнению с сингенетическими сульфидами. Для цементирующей массы копотокластитов в центральной части Попигайской структуры типичны конкреции пирита.

ГЕОХИМИЧЕСКИЕ ОСОБЕННОСТИ ИМПАКТИТОВ

Распределение содержаний как петрогенных, так и редких элементов указывает на гомогенность импактного расплава на всей территории Попигайской структуры [3]. Средний тагамит (по данным ICP-OES-спектроскопии) содержит 48 ppm Ni, 15 ppm Co, 30 ppm Cu, 14 ppm Pb, 68 ppm Zn, 0.73 ppm Ag, 0.01 ppm Au, 0.02 ppm Pt, 0.47 ppm Pd. По сравнению с породами мицелии тагамиты слабо обогащены Ni, Cu, Mo, V, Cr, Mn, Zn. Содержания Ni, Co, Mo обнаруживают несколько дифференцированное распределение в тагамитах по площади, но в вертикальных разрезах мощных покровов закономерных изменений содержаний не выявлено. Как тагамиты, так и зюйвты характеризуются низкими содержаниями серы (0.02–0.07 мас. %),

* Рентгеноструктурный анализ выполнен в ЦИИ ВСЕГЕИ, дифрактометр ДРОН-6 (оператор В.Ф. Сапега).

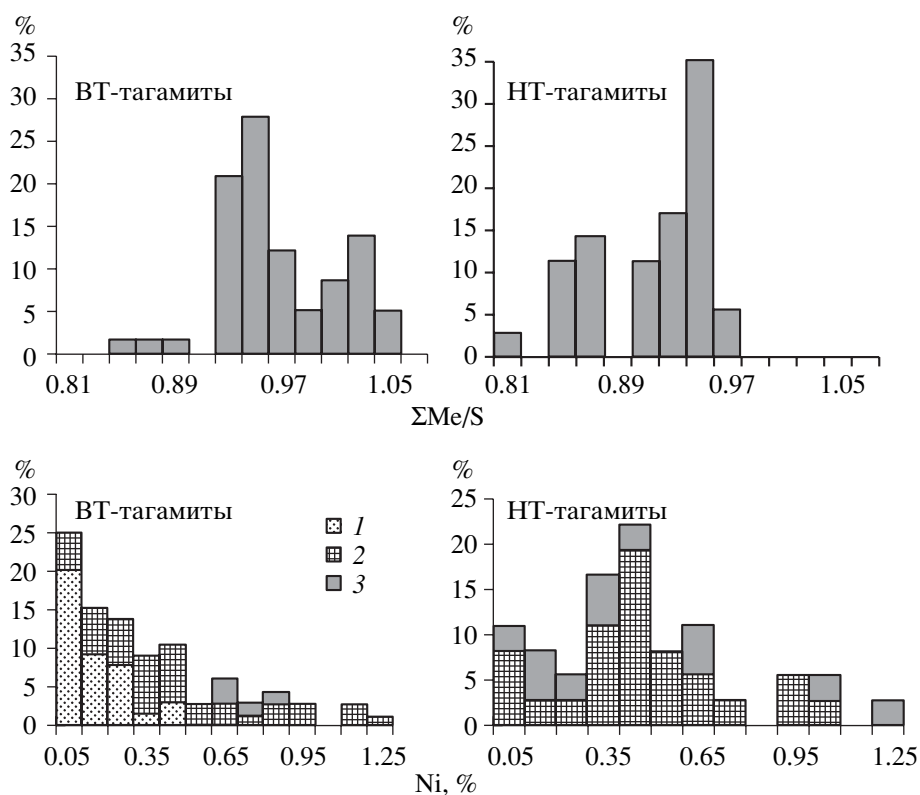


Рис. 2. Составы моносульфида железа в ВТ- и НТ-тагамитах. Для гистограмм содержаний Ni в пирротине: 1 – троилит, 2 – гексагональный пирротин, 3 – моноклинный пирротин.

которые в 1.5–2 раза ниже, чем в кристаллических породах мицелии, что, по-видимому, связано с эмаационным переносом серы [1]. В отличие от последних в тагамитах наблюдается положительная корреляция между серой и сидерофильными компонентами (Fe, Ni, Co), указывая на фиксацию серы при кристаллизации импактных расплавов главным образом в сульфидной фазе.

Изотопный состав серы 10 образцов сульфидов из импактитов и 6 образцов из пород мицелии был определен в ГЕОХИ им. В.И. Вернадского РАН. Как сингенетические, так и эпигенетические сульфиды характеризуются узким интервалом значений $\delta^{34}\text{S}$ от $-2.4\text{\textperthousand}$ до $+3.4\text{\textperthousand}$ CDT, тогда как сульфиды пород мицелии имеют значения $\delta^{34}\text{S}$ от $+1.3\text{\textperthousand}$ до $+3.7\text{\textperthousand}$ CDT.

Выводы. 1. Попигайское импактное событие инициировало возникновение двух генетических типов сульфидных ассоциаций: 1) сингенетической низкосернистой в импактитах и 2) эпигенетической высокосернистой в различных импактных породах. Сопоставление особенностей размещения и состава сульфидной минерализации в Попигайской структуре с данными по другим импактным структурам (включая Садбери) показывает, что в последних развиты аналогичные – доимпактный, сингенетический и эпигенетический типы суль-

фидного оруденения; различия в составе минерализации обусловливаются разным составом первичных сульфидов в породах мицелии. Типоморфными элементами сингенетической минерализации являются Fe, Ni, Co, Cu, эпигенетической – Fe, Cu, Zn, Pb, Ag. Таким образом, могут быть выделены общие закономерности развития процессов коптогенного сульфидообразования, в принципе аналогичные подобным явлениям при формировании магматических комплексов.

2. Исходя из преобладающей в ВТ-тагамитах сферической формы выделений сульфидов, отсутствия их пространственной приуроченности к порам и трещинам, четким границам с вмещающей матрицей тагамитов, наличия структур распада твердых растворов и микровключений стекла, для формирования сингенетических сульфидов предполагается модель несмесимости капель сульфидной жидкости с основной массой импактного расплава. Вследствие ненасыщенности импактного расплава серой кристаллизуется низкосернистый моносульфидный твердый раствор. В НТ-тагамитах большая часть первичных сульфидных сегрегаций перекристаллизована при вторичном изменении. Судя по геохимическим характеристикам импактитов, процесс импактного плавления приводит к концентрации содержащихся в мицелии редких сидерофильных элементов в сульфидной фазе.

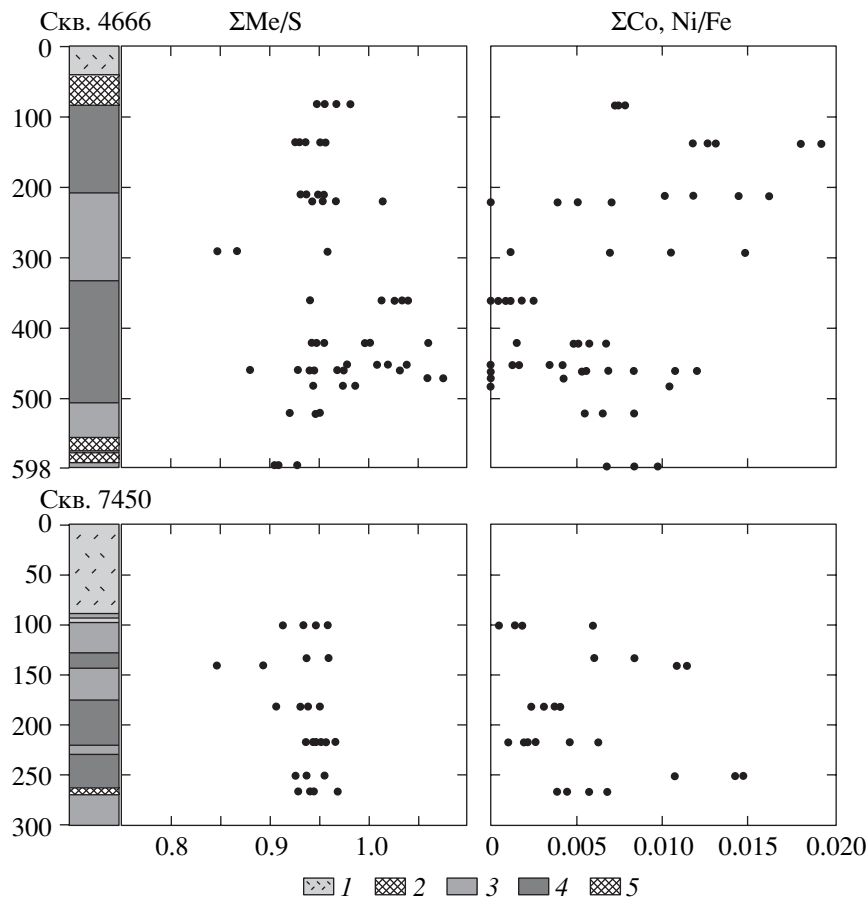


Рис. 3. Состав пирротина в вертикальном разрезе мощного покрова тагамитов в юго-западном секторе Попигайской структуры (бассейн рч. Балаган-Юрэгэ, скв. 4666 и 7450). 1 – зювиты; 2 – брекчиивидные тагамиты; 3 – НТ-тагамиты; 4 – ВТ-тагамиты; 5 – брекчированные и ударно-метаморфизованные гнейсы.

3. Данные по изотопии серы показывают, что сульфиды в импактных породах формируются за счет доимпактных сульфидов. Это подтверждается данными из других импактных кратеров, особенно Карского, где значения $\delta^{34}\text{S}$ в сульфидах из импактиков (-10 до $-12\text{\textperthousand}$ CDT) аналогичны значениям в доимпактных сульфидах, которые резко обеднены тяжелой серой. Однако резкое различие составов доимпактных и сингенетических сульфидов указывает на гомогенизацию сульфидосодержащего импактного расплава при его формировании.

4. Дифференциация сингенетических сульфидных ассоциаций ВТ- и НТ-тагамитов по составу свидетельствует о различии условий кристаллизации этих пород и подтверждает правомерность выделения двух генетических типов тагамитов.

5. Хотя средние составы импактных расплавов и принципиальные характеристики распространения сульфидных ассоциаций в кратерах Попигай и Садбери весьма близки, концентрации сульфидов в Попигае не возникли. Это различие обусловлено: 1) отсутствием металлогенической специализации мишени на сидерофильные компоненты, 2) значи-

тельно меньшим объемом импактного расплава, 3) отсутствием дифференциации расплава (и первичной, и кристаллизационной), 4) низкой интенсивностью постимпактных гидротермальных процессов.

СПИСОК ЛИТЕРАТУРЫ

- Альмухamedов А.И., Медведев А.Я. Геохимия серы в процессах эволюции основных магм. М.: Наука, 1982. 148 с.
- Дистлер В.В., Гроховская Т.Л., Евстигнеева Т.Л. и др. Петрология сульфидного магматического рудообразования. М.: Наука, 1988. 232 с.
- Масайтис В.Л., Мацак М.С., Райхлин А.И. и др. Алмазоносные импактиды Попигайской астроблемы. Л.: ВСЕГЕИ, 1998. 182 с.
- Масайтис В.Л., Сысоев А.Г. // Зап. ВМО. 1975. Т. 104. В. 2. С. 204–208.
- Фельдман В.И., Сазонова Л.В., Гужкова А.В. // ДАН. 1988. Т.301. № 5. С. 1191–1194.
- Naldrett A.J. // Geol. Soc. Amer. Spec. Pap. 1999. V. 339. P. 431–442.
- Prevec S.A., Lightfoot P.C., Keays R.R. // Lithos. 2000. V. 51. №. 4. P. 271–292.